



## ژئوشیمی دگرسانی زئولیتی در سنگ‌های آتشفسانی منطقه کجل (شمال غرب هشجین - استان اردبیل)

قادر حسین‌زاده<sup>\*</sup>، محسن مؤید، اسلام مقدمی

گروه زمین‌شناسی، دانشکده علوم طبیعی، دانشگاه تبریز

(دریافت مقاله: ۹۰/۹/۱۹، نسخه نهایی: ۹۰/۱۱/۳۰)

چکیده: منطقه‌ی مورد بررسی در ۲۰ کیلومتری شمال‌غربی هشجین، جنوب‌غربی استان اردبیل واقع شده و جزوی از زون دگرسانی کجل - شمس‌آباد در کمربند آتشفسانی طارم - هشجین است. زئولیت و کانی‌های همراه آن مانند کوارتز و کلسیت در درز و شکستگی‌های سنگ میزان تراکی‌آنذیتی تشکیل شده‌اند. در زون‌های دگرسان زئولیتی مورد بررسی، استیلیتیت کانی اصلی بوده و کانی‌های ایلیت، سانیدین، کلریت، کلسیت و کوارتز به عنوان کانی فرعی حضور دارند. بر اساس مشاهدات سنگ‌نگاری، کانی‌های اصلی سنگ‌های میزان شامل پلاژیوکلاز، فلدسپار پتاسیم و اوژیت همراه با شیشه‌های آتشفسانی بوده و بافت پورفیری نشان می‌دهند. بررسی‌های ژئوشیمیایی و محاسبات تعییرات جرم عناصر اصلی و فرعی نشان می‌دهد که عناصری مانند Na, K, Ca, Mg, Fe, Mn و Li در سنگ‌های دگرسان شده نسبت به سنگ اولیه تراکی‌آنذیتی تهی شده و Al و Si غنی شده‌اند، عناصر نادر خاکی بجز Eu و عناصر با میدان پایداری بالا (HFSE) دارای رفتار نسبتاً مشابهی بوده و با افزایش شدت دگرسانی غنی شده‌اند در حالیکه عناصر لیتوфیل درشت یون (LILE) الگوی توزیع متفاوتی در سنگ‌های دگرسان و نادگرسان نشان می‌دهند. خاستگاه گرمابی زئولیت‌ها با شواهدی نظیر بلورهای خودشکل، بافت پرکننده‌ی فضای خالی و بادامکی و نبود کانی‌های شاخص دگرگونی تدفینی پشتیبانی می‌شود. گستره‌ی پایداری زئولیت در اثر فعالیت سیلیس محلول و دما کنترل می‌شود. استیلیتیت در لگاریتم فعالیت سیلیس محلول ۴/۱ - پایدار بوده و در دمای زیر ۱۰۰ °C و pH حدود ۸ تا ۹ تشکیل می‌شود.

واژه‌های کلیدی: هشجین؛ کجل؛ شمس‌آباد؛ ژئوشیمی؛ دگرسانی زئولیتی؛ زئولیت؛ استیلیت.

زون‌های دگرسان به عمل آورده است. ضمناً بررسی‌هایی در خصوص شیمی و ژئوشیمی کانی‌های زئولیتی توسط پژوهشگران مختلف انجام شده است [۳,۲]. در این کار پژوهشی، سنگ‌نگاری، شرایط فیزیکوشیمیائی و ژئوشیمی دگرسانی زئولیتی تشریح می‌گردد.

### روش بررسی

در این پژوهش، پس از عملیات صحرائی و تهیه‌ی نقشه زمین‌شناسی، نمونه‌برداری به صورت سیستماتیک (در طول نیم‌محومد بر همبری سنگ میزان سالم و زون دگرسان، B<sub>1</sub> تا B<sub>6</sub>)

مقدمه  
منطقه‌ی زئولیتی دگرسان کجل که در ۲۰ کیلومتری شمال-غربی هشجین از توابع استان اردبیل قرار دارد، از جمله مناطقی است با پتانسیل پی جویی، استخراج و فرآوری زئولیت که کانی ارزشمندی است همراه با ذخایر غیرفلزی دیگر از جمله کانی‌های رسی، که زمینه‌ی فعالیت‌های آینده‌یمعدنی را در این منطقه فراهم آورده است. به طور کلی بررسی‌های اندکی روی زمین‌شناسی ذخایر زئولیت صورت گرفته است، از جمله توسط مقدمی [۱] که بررسی‌هایی در زمینه‌ی شکل‌گیری زئولیت‌ها و

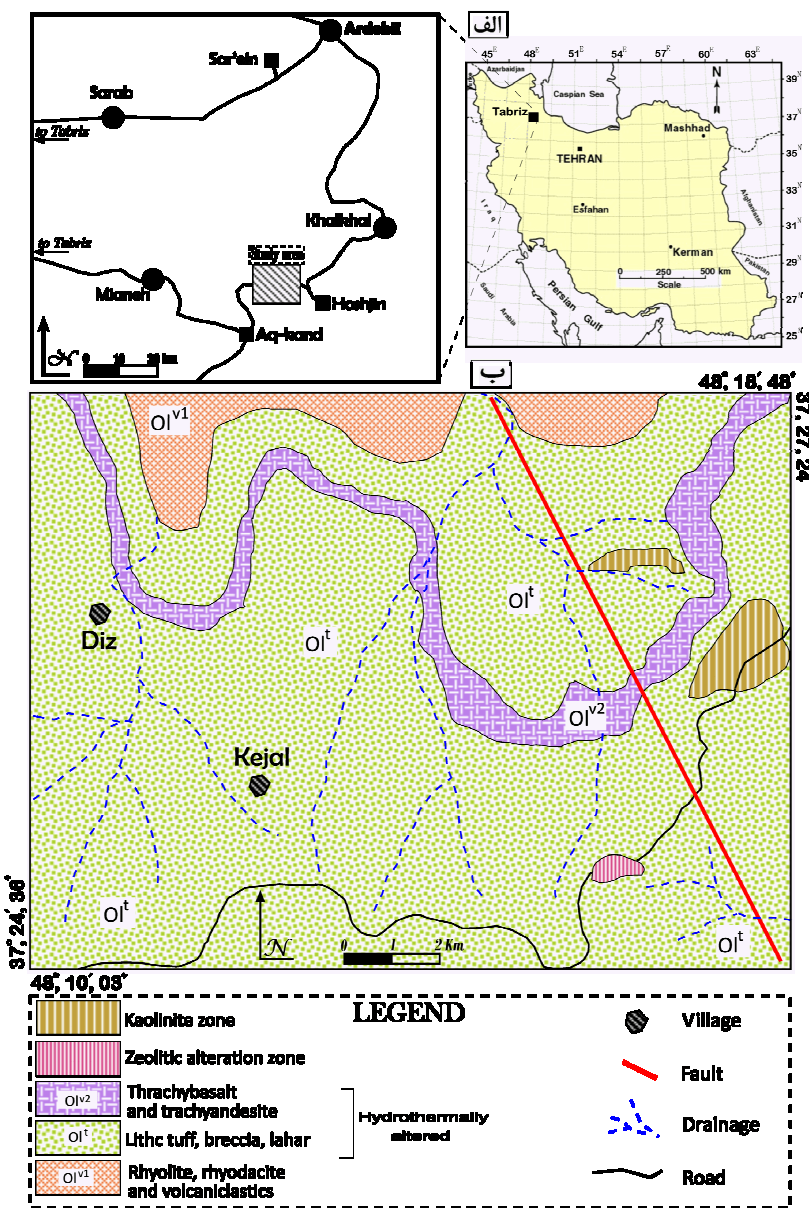
- کواترنری محسوب می‌شوند [۵،۶]. از ویژگی‌های چشمگیر زمین‌شناسی حاشیه رودخانه قزل‌اوزن، رخنمون سنگ‌های آتشفسانی و آذرآواری ائوسن و الیگوسن است که بر اثر روراندگی‌های ملایم رو به جنوب‌غربی و بربائی (Uplift) سریع، دره‌ی تنگ و ژرف قزل‌اوزن پدید آمده که زمین‌لغزهای بزرگ امروزه نیز در آن رخ می‌دهند. از نظر چینه‌ای، پی‌سنگ این منطقه به هرسی‌نین وابسته است (رخنمون سازند مبارک در پنجه‌های زمین ساختی)، ولی مهم‌ترین رخنمون شامل طیف گسترده‌ای از سنگ‌های آتشفسانی - آذرآواری ائوسن تا الیگوسن و توده‌های نفوذی وابسته به فاز پیرنه است (شکل ۲).

و گستره‌های از زون‌های دگرسان انجام شد و سپس ۳۰ مقطع نازک تهیه، و مورد بررسی سنگنگاری قرار گرفتند. ضمناً در بررسی‌های ژئوشیمیایی تعداد ۷ نمونه برای آنالیز به روش طیفسنج جرمی پلاسمای جفت شده‌ی القای (ICP-MS) به آزمایشگاه ALS-Chemex کانادا ارسال و ۳ نمونه نیز در آزمایشگاه کانسaran بینالود به روش XRD تجزیه شدند.

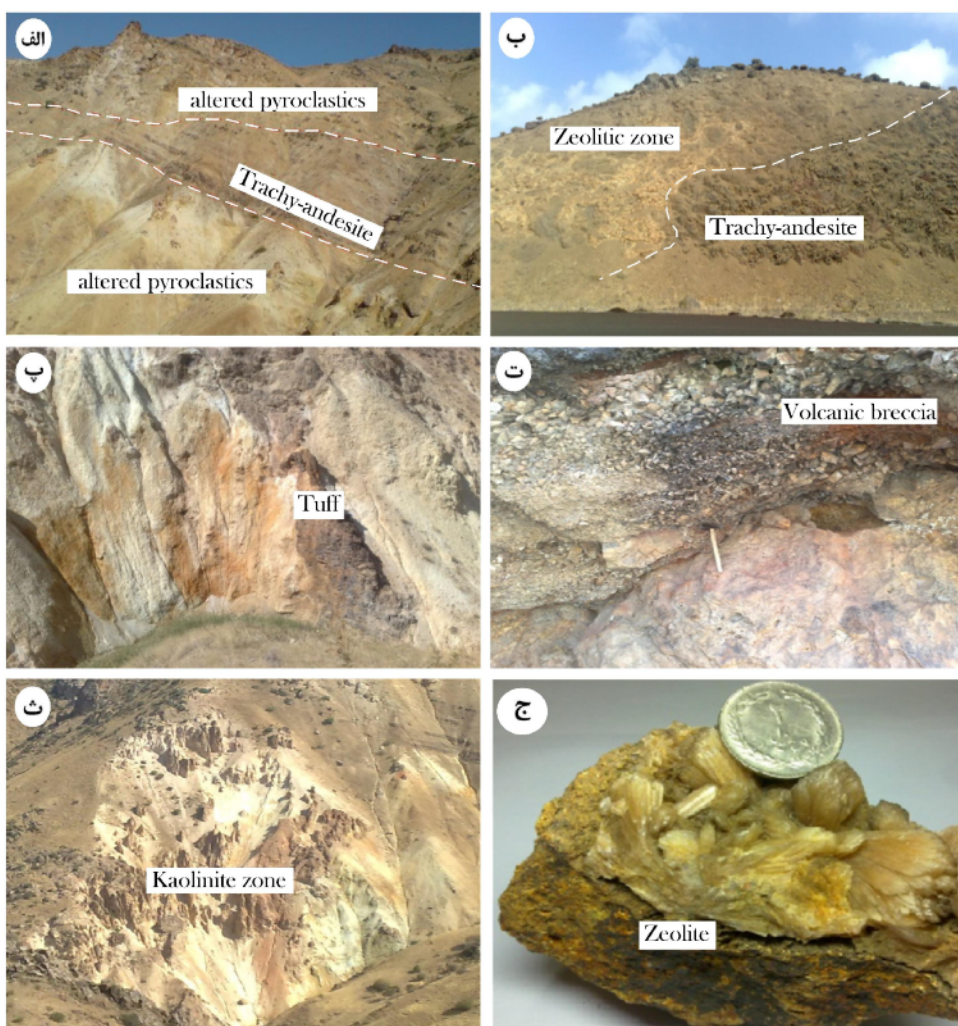
### بحث

#### زمین‌شناسی منطقه

منطقه‌ی مورد بررسی در حاشیه‌ی شمال‌غربی ارتفاعات هشجین واقع شده است (شکل ۱الف). این ارتفاعات جزئی از سلسله جبال البرز غربی - آذربایجان و زون آتشفسانی ترشیری



شکل ۱ موقعیت و راههای دسترسی به منطقه‌ی مورد بررسی در شمال‌غرب ایران (الف) و نقشه‌ی ساده‌ی زمین‌شناسی گستره‌ی (ب).



شکل ۲ تصاویری از واحدهای سنگی و دگرسانی‌های منطقه‌ی کجل، الف- دنباله‌ی واحد تراکی آندزیت با آذرآوارای‌های دگرسان شده (دید به جنوب‌شرق)، ب- همبry نسبتاً مشخص دگرسانی زئولیتی با واحد تراکی آندزیت (دید به شمال)، پ- واحد توفی با دگرسانی آرژیلیک نسبتاً شدید (دید به جنوب‌غرب)، ت- برش آتشفشانی در میان واحدهای آذرآواری از نمای نزدیک، دگرسانی کائولینیتی شدید در واحد آذرآواری (دید به شمال)، نمونه‌ی دستی از زئولیت‌های متبلور در زون‌های زئولیتی دگرسان.

پدیده‌ی دگرسانی گرمابی باعث گسترش زون‌های زئولیتی و کائولینیتی در واحدهای  $(\text{Ol}^{\text{v}2})$  و  $(\text{Ol}^{\text{v}1})$  شده است (شکل‌های ۲، پ، ث، ج). ذخیره‌ی کائولن منطقه‌ی کجل در واحد  $(\text{Ol}^{\text{v}1})$  و ذخیره‌ی زئولیت در هر دو واحد  $(\text{Ol}^{\text{v}2})$  و  $(\text{Ol}^{\text{v}1})$  تشکیل شده است (شکل ۱ ب). به احتمال زیاد، این دگرسانی‌ها به جایگیری استوک‌های پورفیری در این منطقه وابسته‌اند. در برخی از مناطق اطراف از جمله گاو‌کمر، نمهیل، جیزان و مندجین، این توده‌های غنی از پیریت در سطح رخمنون یافته‌اند ولی در منطقه‌ی کجل فقط می‌توان آثار بسیار جزئی از زائده‌های آن‌ها را در درون واحدهای الیگوسن مشاهده کرد.

رخمنون‌های اصلی گستره‌ی مورد بررسی که در آن دگرسانی‌های شدید زئولیتی و کائولینیتی دیده می‌شوند، مشتمل بر سنگ‌های آتشفشانی و آذرآواری به سن الیگوسن هستند (شکل ۱ ب و ۲). این نهشته‌ها با یک قاعده توف-سفیدرنگ و با دگرشیبی زاویه‌دار حدود ۲۵ درجه روی نهشته‌های مشابه به سن ائوسن قرار گرفته‌اند. واحدهای آتشفشانی شامل گدازه‌های ریولیتی تا ریوداسیتی ( $\text{Ol}^{\text{v}1}$ ، گدازه‌های تراکی آندزیتی تا تراکی آندزیت بازالتی ( $\text{Ol}^{\text{v}2}$ ، و سنگ‌های آذرآواری شامل واحدهای لیتیک توف و توف برشی همراه با برش آتشفشانی، توف قطعدار و لاهار ( $\text{Ol}^{\text{l}}$ ) هستند (شکل‌های ۲ الف تا ث).

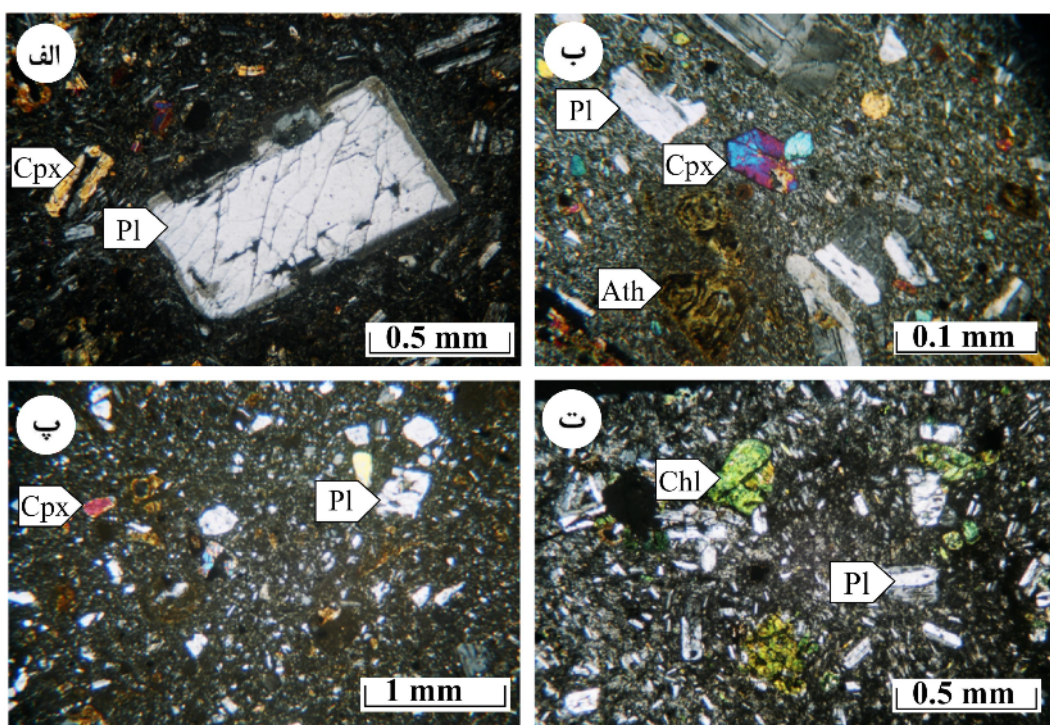
فلدسبار قلیایی ( $20\%-10\%$ ) با تبدیل شدن به کانی های رسی دیده می شود. میزان دگرسانی پلازیوکلازها و فلدسبارها کلأً قلیایی شدید است به حدی که در برخی موارد فلدسبارها کلأً به کانی های ثانویه تبدیل شده اند. کلریتی شدن (شکل ۳ ت) و سیلیسی شدن از تغییرات شاخص در این سنگ ها هستند.

دگرسانی زئولیتی: واحد زئولیتی موجود در این منطقه به عنوان کانسنگ زئولیتی مطرح بوده و بخش کوچکی از گستره مورد بررسی را به خود اختصاص داده است. کانی های زئولیتی در نمونه هی دستی به رنگ صورتی و زرد مایل به قرمز و در سطح تازه شکسته به رنگ صورتی کمرنگ دیده می شود (شکل ۲ ج). در این واحد، کانی های درشت زئولیت (نوع استیلیبیت) با بافت موزائیکی و اسفرولیتی، به همراه کانی های ثانویه کوارتز و کلسیت دیده می شوند (شکل های ۴ الف و ب). بر اساس بررسی های میکروسکوپی به نظر می رسد ترتیب شکل گیری کانی ها به این صورت است که نخست کانی استیلیبیت تشکیل شده و سپس گرماب غنی از کلسیم، باعث تشکیل کانی کلسیت شده و در نهایت هر دو کانی به وسیله کوارتز قطع شده اند.

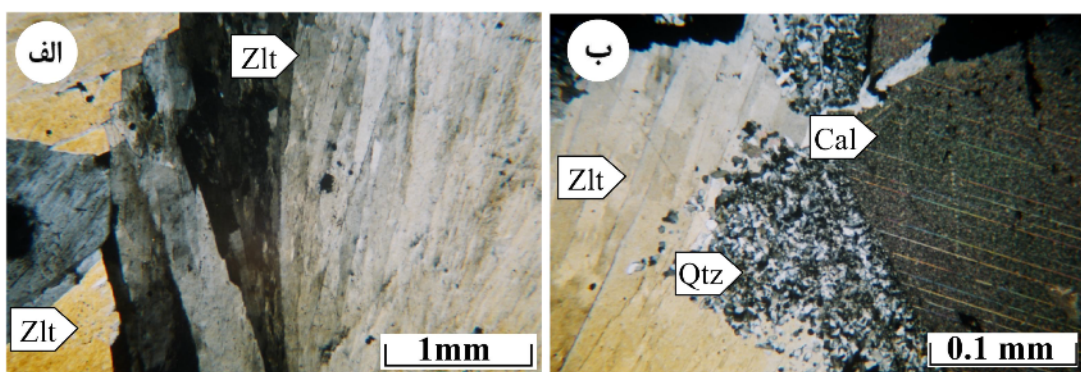
### سنگ نگاری

واحد تراکی آندزیتی: بافت این سنگ میکرولیتیک پورفیری بوده و بررسی های میکروسکوپی نشان دهنده حضور پلازیوکلاز ( $40\%-30\%$ ) به شکل بلورهای خودشکل ریز و درشت با بافت پلی سنتیک و غربالی است (شکل ۳ الف و ب). همچنین فلدسبار قلیایی ( $20\%-10\%$ ) به صورت درشت بلورهای بی شکل از نوع سانیدین با ماکل کارلسپاد و با دگرسانی به کانی های رسی حضور دارند. پیروکسن و الیوین، کانی های فرعی و آنتوفیلیت و کلریت، کانی های ثانوی این سنگ اند. پیروکسن از نوع اوژیت ( $5\%-1\%$ ) بوده (شکل ۳ الف و ب) و انباسته های آن باعث ایجاد بافت های هیالومیکرولیتی پورفیریک و گلومروپورفیریک شده است. الیوین ( $5\%-1\%$ ) به صورت بلورهای شکل دار قابل مشاهده بوده و به کانی ثانویه آنتوفیلیت تجزیه شده است (شکل ۳ ب). کلریت (کمتر از  $\frac{1}{3}\text{ mm}$ ) به صورت کاملاً بی شکل حاصل از دگرسانی فرومینیزین ها حضور دارد.

واحد آذرآواری: این سنگ دارای بافت ریز بلوری بوده، فلدسبات ها کانی های اصلی آن بوده و کلریت و کانی های رسی به صورت ثانویه در آن حضور دارند. در این واحد، پلازیوکلاز ( $30\%-20\%$ ) به صورت ریز بلور حضور داشته (شکل ۳ پ و ت) و



شکل ۳ تصاویر میکروسکوپی از واحد های سنگی مورد بررسی. الف- فنوتکریست پلازیوکلاز به همراه اوژیت در زمینه ریز بلوری تراکی آندزیت (XPL)، بافت ریز بلوری پورفیری در تراکی آندزیت با حضور پلازیوکلاز و اوژیت و دگرسانی اولیوین به آنتوفیلیت (XPL)، پ- پلازیوکلاز و کلینوپیروکسن در زمینه ریزدانه واحد توفی (XPL)، تبدیل شدگی فرومینیزین ها به کلریت در واحد توفی با بافت ریز بلوری (XPL).



شکل ۴ تصاویر میکروسکوپی از زون دگرسانی زئولیتی، الف- بلورهای درشت زئولیت با بافت اسپرولیتی در زون دگرسانی (XPL)، ب- زئولیت موزالیکی به همراه بلورهای متبلور کلسیت و کوارتز تأخیری (XPL).

#### دگرسانی کاملاً دستخوش تغییر شده‌اند.

بررسی ترکیب شیمیائی زئولیت خالص کجل نشانگر تشابه بسیار زیاد این کانی با نمونه‌های شناخته شده در ایران و جهان از جمله کوه آراده، جنوب کهریزک [۶]، Oregon آمریکا [۷] و Modern Area در کانادا [۸] (جدول ۲) است. ترکیب اکسیدهای اصلی این کانی در کجل به شرح زیرند:

$\text{SiO}_2$   $\text{Al}_2\text{O}_3$   $\text{Fe}_2\text{O}_3$   $\text{Na}_2\text{O}$   $\text{K}_2\text{O}$   $\text{CaO}$   $\text{MgO}$   $\text{MnO}$   $\text{TiO}_2$   $\text{P}_2\text{O}_5$  LOI  
۵۷,۸ ۱۶,۸ ۰,۱۴ ۰,۰۲ ۰,۰۴ ۰,۰۱ ۰,۰۱ ۱۸,۴

چنانکه مشاهده می‌شود میزان  $\text{CaO}$  در این کانی بسیار بالا بوده و مقدار ناچیزی  $\text{Na}$  مشاهده می‌شود. فرمول شیمیائی استیلیبیت به صورت  $\text{Ca}(\text{Na}_2, \text{K}_2)[\text{Al}_2\text{Si}_7\text{O}_{18}] \cdot 7\text{H}_2\text{O}$  است که با نتایج آنالیز شیمیائی فوق می‌توان با قاطعیت در مورد ترکیب کانی بعنوان "استیلیبیت کلسیم‌دار" اظهار نظر کرد.

#### کانی‌شناسی

نتایج آنالیز XRD نشان می‌دهد که سانیدین، کلریت، زئولیت نوع استیلیبیت، کوارتز و کانی‌های رسی (ایلیت) کانی‌های غالب موجود در نمونه‌های مورد بررسی بوده‌اند (جدول ۱ و پیوست ۱ و ۲). در نمونه‌های زئولیتی خالص، استیلیبیت کانی اصلی بوده و کوارتز آن را همراهی می‌کند. در نمونه‌های نسبتاً سالم وابسته به سنگ خاستگاه تراکی‌آندزیتی، سانیدین کانی اصلی بوده و کلریت، کوارتز و ایلیت نیز در آن‌ها دیده می‌شوند.

چنانکه در بخش مربوط به سنگنگاری واحدهای سنگی موجود در منطقه‌ی مورد بررسی گفته شد، پلاژیوکلازها و فلدسپار پتانسیم مهم‌ترین کانی‌های موجود در سنگ میزان ذخیره‌ی زئولیت منطقه به شمار می‌آیند. با توجه به مقاومت اندک این کانی‌ها نسبت به دگرسانی گرمابی، طی فرآیند

جدول ۱ نتایج آنالیز XRD از نمونه‌های ذخیره‌ی زئولیت کجل.

نوع نمونه	کانی‌های اصلی	کانی‌های فرعی	شماره نمونه
سنگ خاستگاه تراکی‌آندزیت	سانیدین، کوارتز، کلریت	ایلیت	DZAA
زئولیت خالص	استیلیبیت، کوارتز	-----	TZJA21
زئولیت خالص	استیلیبیت	-----	DZKJ2

جدول ۲ مقایسه مقدار اکسیدهای اصلی زئولیت کجل با ذخایر شناخته شده‌ی دیگر.

	کجل	کوه آراده	Oregon	Modern Area
$\text{SiO}_2$	۵۷,۸	۵۶,۷۳	۵۷,۸۹	۵۷,۲۱
$\text{Al}_2\text{O}_3$	۱۶,۸	۱۷	۱۵,۵۶	۱۶,۲
$\text{Fe}_2\text{O}_3$	۰,۱۴	۰,۰۷	۰,۰۸	n.d.
$\text{MgO}$	۰,۰۲	۰,۲۵	۰,۰۰	n.d.
$\text{CaO}$	۸,۱۳	۸,۰۳	۷,۷۶	۸,۲۰
$\text{Na}_2\text{O}$	۱,۰	۰,۷۱	۰,۸۶	۰,۵۹
$\text{K}_2\text{O}$	۰,۰۴	۰,۰۷	۰,۰۲	n.d.
LOI	۱۸,۴	۱۸,۲۵	۱۸,۴۳	-

نمودارهای افزایش – کاهش ترسیم شدند. برای این منظور به ترتیب از روابط زیر استفاده شد [۱۰]:

$$\text{فراوانی عنصر Ti در نمونه دگرسان شده} / \text{فراوانی عنصر Ti در نمونه نادگرسان} = (\text{E.F.})$$

$$\times \text{فراوانی ترکیب اکسیدی عنصر در نمونه نادگرسان} / (\text{E.F.}) = (\text{R.C.})$$

$$\text{فراوانی عنصر در نمونه نادگرسان} - (\text{M.C.}) = (\text{R.C.})$$

جرم

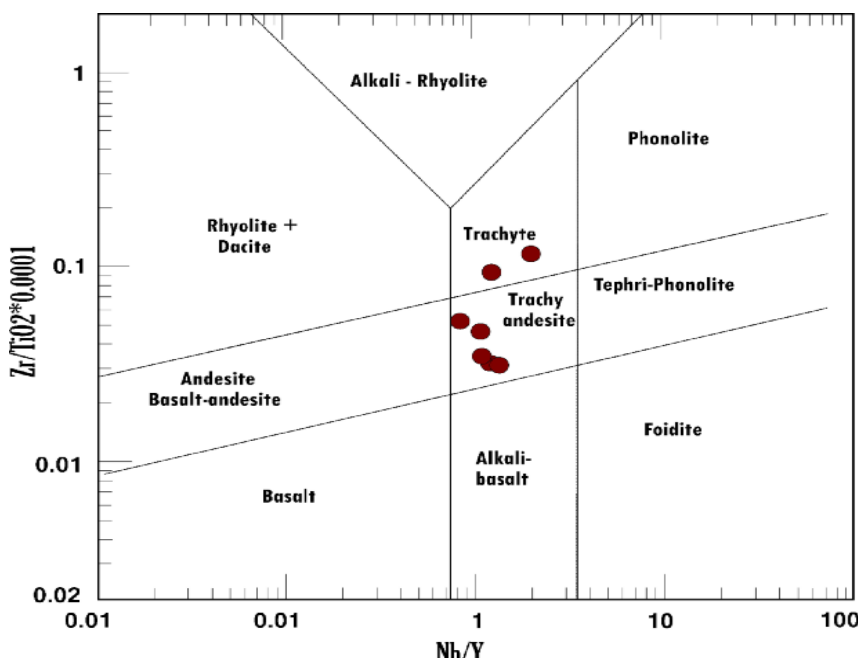
بر این اساس، در نیمرخ مورد بررسی بیشترین تغییر در عناصر Ca, Mg, K, Na و Fe دیده می‌شود. الگوی تغییرات جرم این عناصر در نیمرخ نمونه‌برداری مشابه هم هستند (شکل ۶) و در تمامی موارد در سنگ خاستگاه مقادیر این عناصر بالاست و طی فرآیند دگرسانی زئولیتی و با افزایش شدت دگرسانی از مقادیر این عناصر به واسطهٔ قابلیت تحرك بالای آن‌ها کاسته شده است. این کاهش به دلیل تجزیه کانی‌های پلازیوکلаз به کانی‌های رسی و سریسیت بوده و آثار این تغییرات به صورت گسترش زون‌های دگرسان آرژیلیک در منطقه مشهود است. غنی‌شدگی مشاهده شده برای Al و Si در نمونه‌های دگرسان نیز طبق [۱۱] تابعی از تهی‌شدگی آن‌ها از عناصر قلیابی و Fe و Mg است (شکل ۶).

**ژئوشیمی**

برای بررسی‌های ژئوشیمیابی از نتایج آنالیز ICP-MS استفاده شد (جدول ۳). در این بررسی‌های ترکیب شیمیابی سنگ میزبان، سری ماقمایی، تغییرات جرم (Mass-Change) طی کانی‌سازی و تکامل مراحل مختلف دگرسانی، میزان غنی‌شدگی و تهی‌شدگی عناصر طی دگرسانی، مورد بحث و بررسی قرار گرفته است.

در نمودار وینچستر و فلويد [۹] که بر اساس عناصر نامتحرك بنا شده است، بیشتر نمونه‌های مورد بررسی در گستره‌ی تراکی آندزیت و ۲ نمونه در گستره‌ی تراکیت قرار گرفته‌اند (شکل ۵).

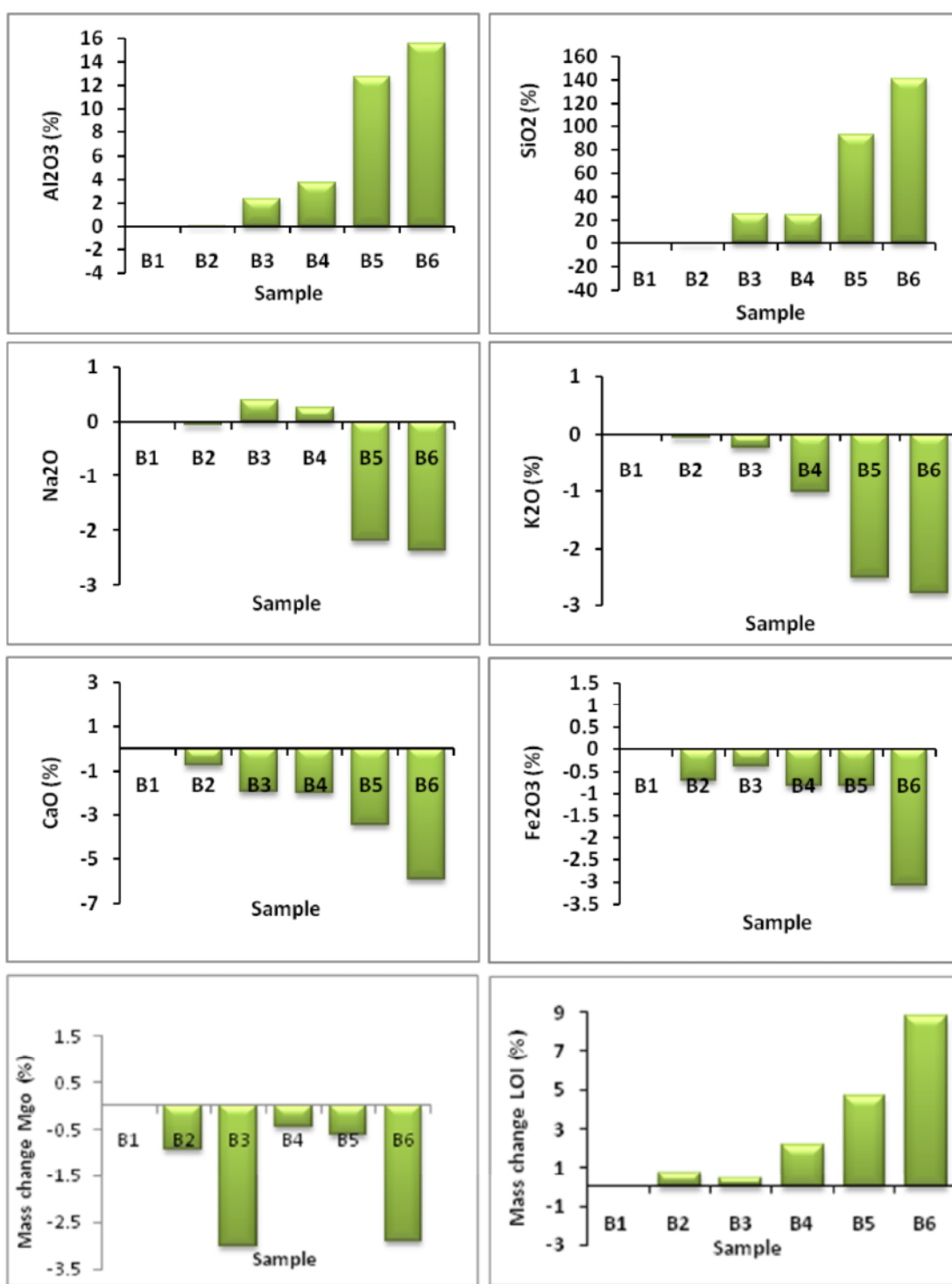
به‌منظور بررسی تغییرات جرم عناصر در طول نیمرخ نمونه‌برداری، یکی از نمونه‌های تراکی آندزیتی نادگرسان به عنوان سنگ مبنای مقایسه و عنصر Ti به عنوان عنصر نامتحرك انتخاب شدند. برای محاسبهٔ کمی میزان تغییر جرم عناصر اصلی و فرعی از روش محاسبهٔ تغییر جرم عناصر مکلین [۱۰] استفاده شد که بر مبنای مقایسهٔ عناصر ناظر به تحرک، فاکتور غنی‌شدگی (Enrichment Factor) و ترکیب بازسازی‌شده‌ی (Reconstructed Composition) است. در نهایت تغییر جرم عناصر (Mass Change) محاسبه و نتایج حاصل در قالب



شکل ۵ موقعیت نمونه‌های توده‌ی میزبان زئولیت در نمودار وینچستر و فلويد [۴]. بیشتر نمونه‌ها در گستره‌ی تراکی آندزیت و دو نمونه در گستره‌ی تراکیت قرار گرفته‌اند.

جدول ۳ نتایج آنالیز نمونه‌های برداشت شده از منطقه‌ی مورد بررسی به روش ICP-MS

نمونه	B1	B2	B3	B4	B5	B6	Zeolite
Major elements (%)							
SiO <sub>2</sub>	۵۷,۸	۵۹,۰	۶۳,۲	۶۲,۳	۶۹,۱	۷۵,۹	۵۷,۸
Al <sub>2</sub> O <sub>3</sub>	۱۵,۸	۱۶,۳	۱۵,۹	۱۴,۷	۱۳,۱	۱۸,۰	۱۶,۰
Fe <sub>2</sub> O <sub>3</sub>	۶,۹۲	۶,۳۷	۵,۷۲	۴,۵۹	۲,۷۹	۱,۴۷	۰,۱۴
Na <sub>2</sub> O	۲,۹	۲,۹	۲,۹	۲,۴	۰,۰۴	۰,۲	۱,۰
K <sub>2</sub> O	۳,۵۹	۳,۸۳	۲,۹۴	۱,۹۴	۰,۵	۰,۳۱	۰,۰۴
CaO	۶,۲۵	۵,۸۵	۳,۷۴	۳,۱۱	۱,۲۷	۰,۱۱	۸,۱۳
MgO	۳,۷۲	۲,۸۶	۰,۶۳	۲,۴۷	۱,۴۲	۰,۳۵	۰,۰۲
MnO	۰,۱۳	۰,۱۰	۰,۰۶	۰,۰۹	۰,۰۴	۰,۰۱	۰,۰۱
TiO <sub>2</sub>	۰,۸۱	۰,۸۳	۰,۷۱	۰,۶۱	۰,۳۷	۰,۳۱	۰,۰۱
P <sub>2</sub> O <sub>۵</sub>	۰,۲۲	۰,۲۲	۰,۲۵	۰,۱۴	۰,۰۵	۰,۰۶	۰,۰۱
Cr <sub>2</sub> O <sub>۳</sub>	۰,۰۱	۰,۰۴	۰,۰۱	۰,۰۱	۰,۰۱	۰,۰۱	۰,۰۱
LOI	۲,۲۲	۲,۹۶	۲,۲۹	۳,۳۱	۳,۱۴	۴,۲۳	۱۸,۴
Elements (ppm)							
Ba	۴۹,۰	۵۵,۰	۷۶,۰	۳۹,۰	۲۱,۰	۳۷,۰	۱,۰>
Nb	۲,۰	۲,۰	۲,۰	۲,۰	۳,۰	۳,۰	۱,۰>
Sr	۴,۰	۳,۸۰	۳,۱۰	۲,۰۰	۷,۰	۱۲,۰	۲,۰
Zn	۶۲	۶۱	۶۳	۶۷	۳۹	۱۲	۸
Ag	۱>	۱>	۱>	۱>	۱>	۱>	۱>
Ce	۴۹,۲	۵۱,۶	۶۵,۱	۶۵,۶	۸۱,۷	۷۷,۲	۰,۱*
Co	۲۱,۰	۱۹,۱	۱۲,۶	۱۵,۲	۷,۴	۱,۶	۰,۵>
Cs	۳,۱	۲,۶	۴,۲	۶,۹	۶,۷	۷,۸	۰,۲
Cu	۶۶	۵۶	۳۴	۱,۰۶	۲۲	۲۲	۶۴
Dy	۴,۱۸	۴,۲۷	۴,۲۶	۵,۳۳	۵,۴۶	۳,۶۸	۰,۰۵>
Er	۲,۴۷	۲,۶۰	۲,۵۲	۲,۲۵	۲,۳۴	۲,۴۵	۰,۰۵>
Eu	۱,۲۱	۱,۲۲	۱,۲۵	۱,۱۳	۰,۵۸	۰,۴۵	۰,۰۵>
Ga	۱۷	۱۷	۱۹	۱۶	۱۵	۱۶	۱
Gd	۴,۲۴	۴,۲۳	۴,۸۹	۵,۰۱	۵,۱۸	۳,۶۳	۰,۰۵>
Hf	۵	۵	۶	۶	۷	۷	۱,۰>
Ho	۰,۸۹	۰,۸۶	۰,۸۶	۱,۱۸	۱,۱۴	۰,۸۱	۰,۰۵>
La	۲۵,۲	۲۷,۱	۳۵,۵	۳۳,۳	۴۳,۱	۳۹,۶	۰,۳
Lu	۰,۳۶	۰,۳۹	۰,۳۴	۰,۵۰	۰,۵۷	۰,۴۲	۰,۰۵>
Mo	۳	۳	۳	۳	۳	۵	۲>
Nd	۲۲,۴	۲۲,۱	۲۷,۷	۲۹,۰	۳۱,۹	۲۹,۸	۰,۳
Ni	۳۶	۱۸,۴۰	۱۴	۳۷	۱۱	۷	۱۰
Pr	۵,۸۶	۶,۲۰	۷,۶۳	۷,۷۲	۲,۲۹	۸,۷۶	۰,۰۷
Rb	۱۰,۳	۱۱,۴	۱۷۶	۱۶۸	۲۲۱	۹۷,۱	۱,۴
Sm	۴,۴	۴,۷	۵,۴	۵,۹	۵,۹	۵,۳	۰,۱>
Sn	۲	۲	۳	۳	۲	۴	۱,۰>
Ta	۰,۸	۰,۹	۱,۳	۱,۴	۱,۸	۱,۸	۰,۰۵>
Tb	۰,۸۱	۰,۸۷	۰,۷۳	۰,۸۷	۰,۹۲	۰,۶۱	۰,۰۵>
Th	۸,۶	۹,۲	۱۳,۴	۱۵,۹	۲۰,۷	۱۸,۷	۰,۱
Tl	۰,۰>	۰,۰>	۰,۰>	۰,۰>	۰,۰>	۰,۶	۰,۰>
Tm	۰,۳۶	۰,۴۰	۰,۳۹	۰,۵۱	۰,۵۴	۰,۴۰	۰,۰۵>
U	۲,۵۰	۲,۷۰	۴,۰۱	۴,۲۲	۵,۹۸	۴,۹۰	۰,۰۵>
V	۱۶۲	۱۹۰	۹۴	۱۰۸	۳۵	۲۹	۰,۰>
W	۲	۲	۶	۵	۵	۶	۱,۰>
Y	۲۲,۲	۲۲,۱	۲۳,۰	۲۹,۲	۳۲	۲۱,۴	۰,۰>
Yb	۲,۴	۲,۵	۲,۵	۳,۳	۳,۶	۲,۷	۰,۱>
Zr	۱۷۵	۱۹۱	۱۹۱	۲۰,۷	۲۴۴	۲۳۶	۳



شکل ۶ نمودار تغییرات جرم اکسیدهای اصلی در طی نیمرخ نمونهبرداری (B1-B6).

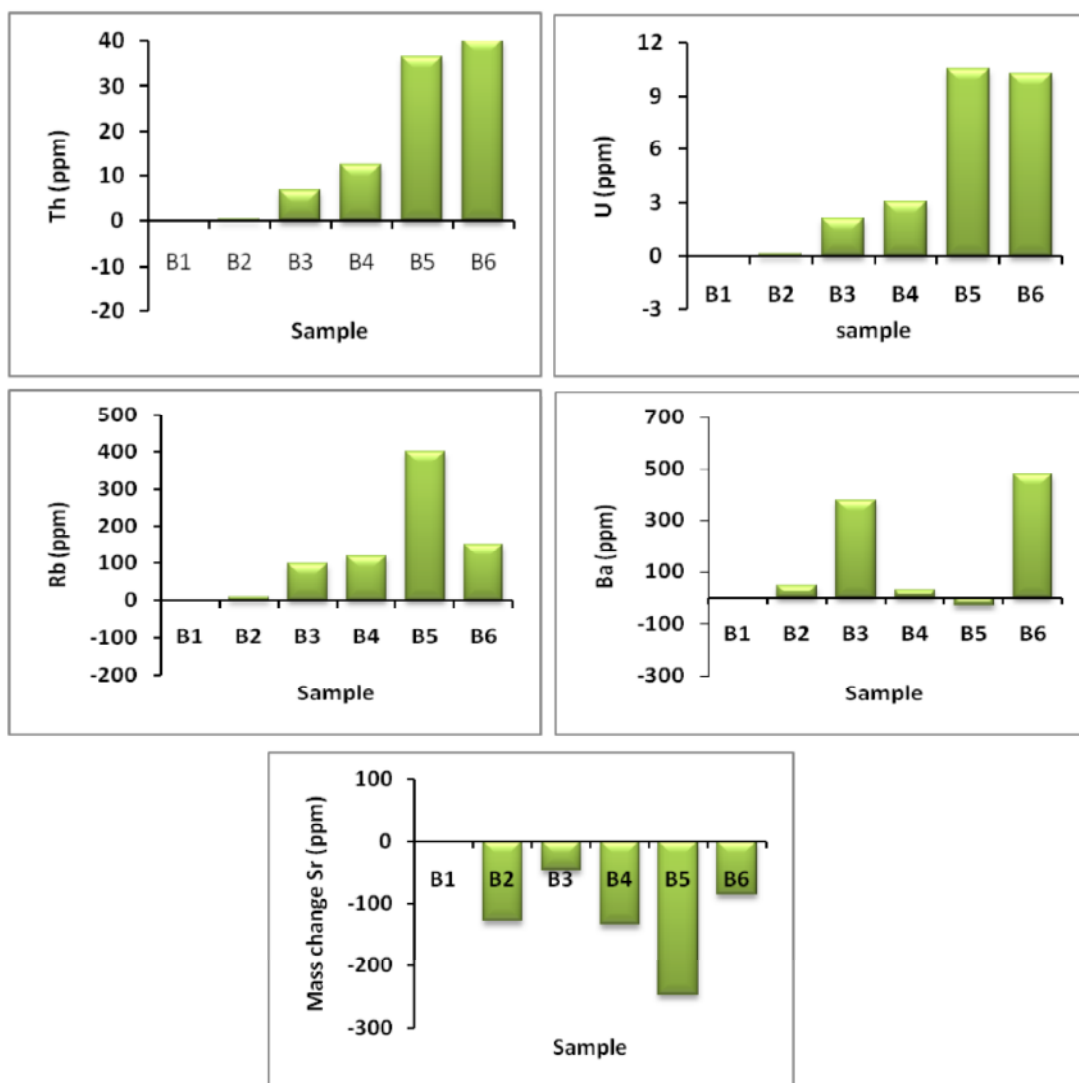
جرم تقریباً مشابهی داشته و در همه نمونه‌های دگرسان شده نسبت به تراکی آندزیت دگرسان نشده غنی‌شدگی نشان می‌دهند، ولی الگوی تغییرات جرم این دو عنصر نامنظم است. مقدار عنصر Sr در طی دگرسانی با کاهش جرم همراه بوده و نوعی تهی‌شدگی نسبت به سنگ خاستگاه دگرسان نشده نشان

عناصر لیتوفیل درشت یون (LILE) شامل عناصر Rb, K, Ba, Sr, U, Th, Pb, رفتار متفاوتی نشان می‌دهند (شکل ۷). الگوی تغییرات جرم عناصر U و Th کاملاً مشابه بوده و در راستای نیمرخ نمونه‌برداری با افزایش شدت دگرسانی سیر صعودی نشان می‌دهند. دو عنصر Rb و Ba نیز الگوی تغییرات

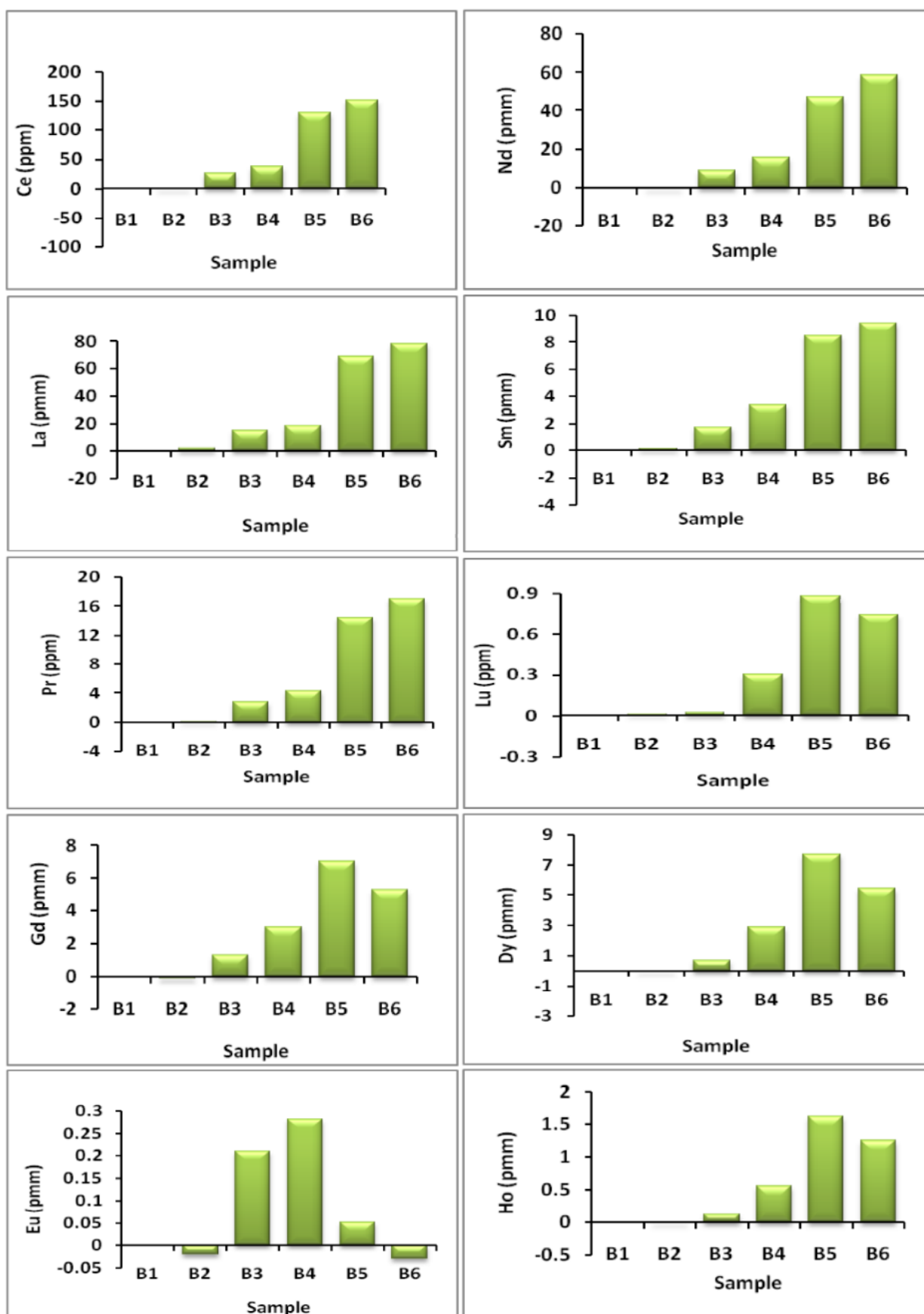
با افزایش شدت دگرسانی افزایش جرم نشان می‌دهند، یعنی نسبت به سنگ خاستگاه دگرسان نشده غنی شده‌اند (شکل ۸). عناصر نادر خاکی تغییرات جرم مشابهی داشته و روند افزایشی طی فرآیند دگرسانی نشان می‌دهند (شکل ۹). چندین دسته از کانی‌ها به عنوان میزان اصلی REE‌ها در محصولات هوازده توسط پژوهشگران مختلف پیشنهاد شده‌اند که از آن جمله می‌توان به کانی‌های رسی [۱۱]، کانی‌های فسفات‌دار [۱۲]، اکسیدهای منگنز [۱۳] و اکسیدها و هیدرواکسیدهای آهن [۱۴] اشاره کرد. بنابراین می‌توان گفت غنی شدن عناصر REE در کانی‌های دگرسان شده، ورود آن‌ها در ساختار کانی‌های رسی هستند.

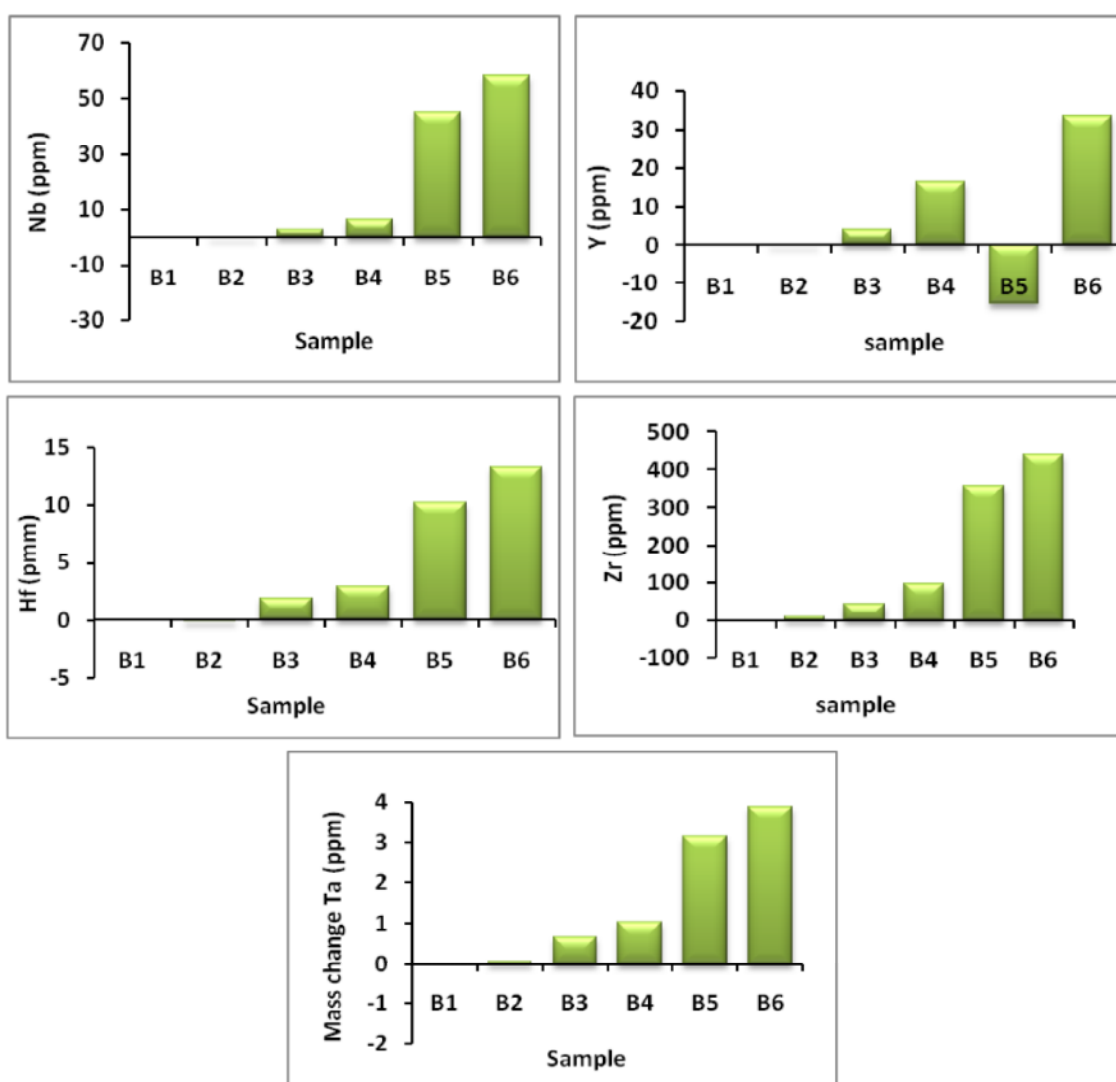
Ca می‌دهد. به‌نظر می‌رسد این رفتار Sr تابعی از تهی‌شدگی است. تغییر در مقادیر عناصر Ba، Rb و Sr و نسبت Rb/Sr باشد. این تغییرات یعنی افزایش نسبت Rb/Sr با پیشرفت دگرسانی و نیز غنی‌شدگی Ba در سنگ دگرسان، می‌تواند طبق [۱۱] در ارتباط با تشکیل سریسیت و جانشینی فلدسپار پیاسیم به جای پلازیوکلاز اولیه باشد.

روند تغییرات عناصر با قدرت میدان بالا (HFSE) شامل عناصر Y، Ta، Nb، P، Hf و Zr طی فرآیند دگرسانی کاملاً مشابه همیگرند. به غیر از عنصر Y که در نمونه‌ی شماره‌ی ۵ تهی‌شدگی نسبی نشان می‌دهد و عنصر P که با پیشرفت دگرسانی کاهش جرم پیدا می‌کند، میزان عناصر دیگر این گروه



شکل ۷ نمودار تغییرات جرم عناصر LILE در طی نیمرخ نمونه‌برداری (B<sub>1</sub>-B<sub>6</sub>).

شکل ۸ نمودار تغییرات جرم عناصر HFSE در طی نیمرخ نمونه برداری (B<sub>1</sub>-B<sub>6</sub>).



شکل ۹ نمودار تغییرات جرم برخی از عناصر REE در طی نیمرخ نمونه برداری (B<sub>1</sub>-B<sub>6</sub>).

هیدرومیکا و ایلیت - اسماکتیت) باشد. به این طریق که نخست با تجزیه پلازیوکلاز عنصر Eu در گرماب رها شده و سپس در بعضی از کانی‌های رسی انباسته می‌شود هرچند این مسئله طبق [۱۱] می‌تواند به شستشوی انتخابی با گرماب نیز وابسته باشد.

برای تعیین روند دگرسانی از نمودار مثلثی  $K_2O - Al_2O_3 - (CaO + Na_2O)$  - [۱۷] استفاده شد (شکل ۱۰). در این نمودار، نخست روندی موازی با ضلع  $Al_2O_3 - (CaO + Na_2O)$  مشاهده می‌شود، ولی با افزایش دگرسانی، نمونه‌ها به رأس  $Al_2O_3$  نزدیک می‌شوند. این روند طبق [۱۸] حاصل از بین رفتان قلیائی‌ها و Ca در محلول طی شکستن پلازیوکلازها و فلدسپارهای پتاسیم و سیلیکات‌های فرومیزین است.

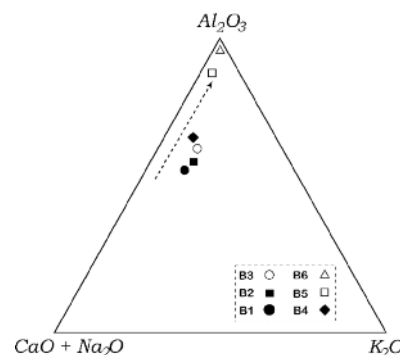
در این بین، رفتار Eu اندکی متفاوت است. این عنصر در ۳ نمونه کاهش جرم و در ۳ نمونه دیگر افزایش جرم نسبت به سنگ میزبان نشان می‌دهد. تهی‌شدگی Eu به رها شدن ترجیحی  $Eu^{2+}$  وابسته است. با افزایش میزان دگرسانی، فلدسپارهای غنی از Eu به کانی‌های رسی تجزیه می‌شوند که در طی آن  $Eu^{3+}$  در یک شرایط احیایی به  $Eu^{2+}$  تبدیل شده و از محیط خارج می‌شود [۱۵]. با افزایش درجه دگرسانی (تا نمونه ۴) عنصر Eu بی‌هنگاری مشخصی نشان می‌دهد، ولی تغییر در روند بی‌هنگاری Eu از مثبت به منفی به کاهش اکسیدهای Na<sub>2</sub>O و CaO در اثر تجزیه پلازیوکلازها مربوط می‌شود.

طبق [۱۶] بی‌هنگاری مثبت Eu در بعضی از نمونه‌ها ممکن است به علت انباسته آن در کانی‌های رسی (ایلیت،

برخوردار است. همچنین نوع زئولیت تشکیل شده تابعی از ترکیب شیشه‌های آتشفشنای موجود است [۲۱]. زئولیت‌های غنی از سیلیس مانند کلینوپیتولیت و موردنیت از دگرسانی شیشه‌های سیلیکاتی به وجود می‌آیند در حالی که زئولیت‌های غنی از آلومین مانند فیلیپسیت، ناترولیت، آنالسیم، استیلیبت و هولاندیت اغلب از شیشه‌های بازالتی حاصل می‌شوند.

دما مهم‌ترین پارامتر در تشکیل زئولیت است. در شکل ۱۱ [۲۲] گستره‌ی پایداری انواع مختلف زئولیت‌ها به عنوان تابعی از دما ترسیم شده است. بنابر این نمودار، گستره‌ی پایداری استیلیبت از ۲۵ درجه به ۱۰۰ درجه سانتیگراد (شکل ۱۱ الف تا ب) به شدت کاهش یافته و در دماهای بالاتر بکلی از بین رفته است. همچنین بررسی گستره‌ی پایداری این کانی در شرایط متفاوت فعالیت سیلیس (شکل ۱۲) نشان می‌دهد که حداقل پایداری استیلیبت در  $\text{Log}(\text{aSiO}_2)$  برابر با -۴/۱ (شکل ۱۲ ب) است.

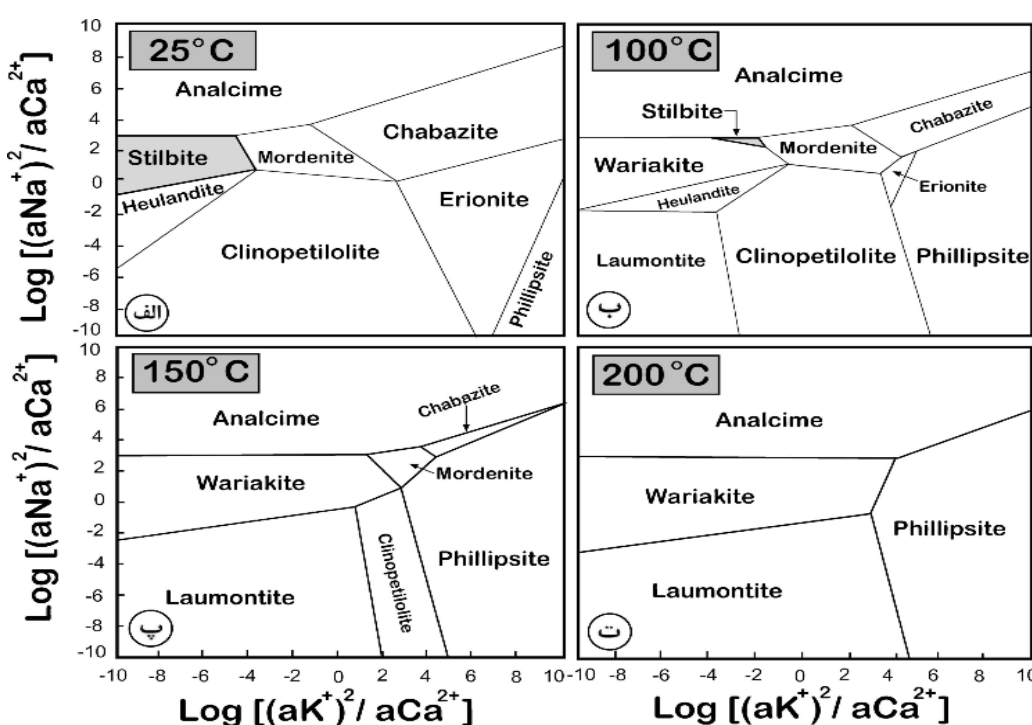
کانی استیلیبت در سنگ‌های مافیک با سیستم دمای زمین گرمایی پایین در منطقه‌ی Reykjavik ایسلند، در دمای ۹۰ تا ۱۱۰ درجه و عمق ۸۰۰ تا ۱۰۰۰ متر پیدا شده است [۲۳]. همچنین بنا بر [۲۴] این کانی از آبهای سطحی قلیائی در دمای حدود ۵۰ تا ۸۶ درجه سانتی‌گراد تشکیل می‌شود.



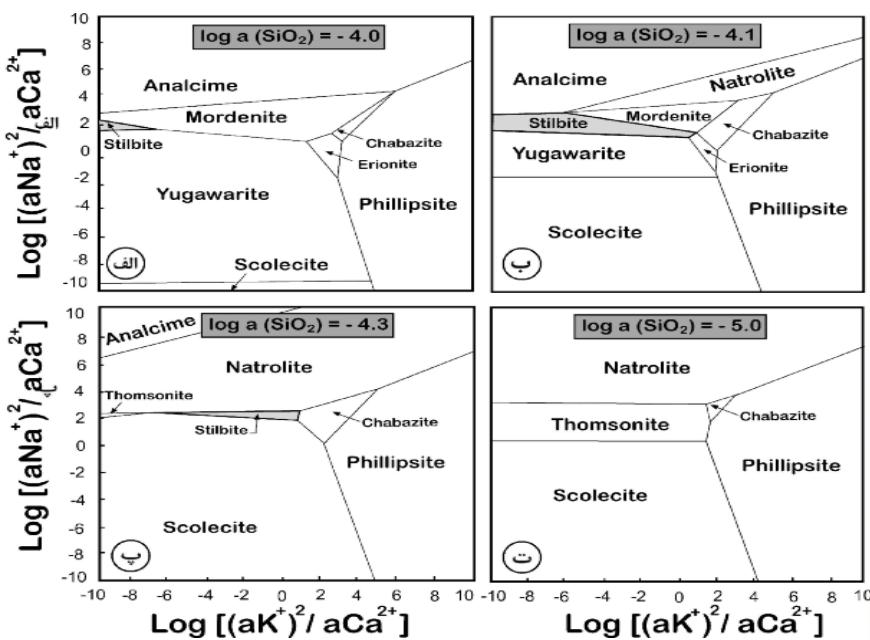
شکل ۱۰ تعیین روند دگرسانی در طول پروفیل نمونه‌برداری بر روی نمودار مثلثی  $\text{K}_2\text{O} - \text{Al}_2\text{O}_3 - (\text{CaO} + \text{Na}_2\text{O})$  [۱۲].

شرایط فیزیکوشیمیایی تشکیل زئولیت کجل به طور کلی شواهد محکمی از جمله بافت رگه – رگچه‌ای و اسفلولیتی، بلورهای درشت و شکل دار استیلیبت و نبود کانی‌های دگرگون تدفینی از خاستگاه گرمابی زئولیت‌های کجل حمایت می‌کنند.

طبق [۱۹] محلول‌های مسئول تشکیل زئولیت کلسیم‌دار دارای pH متوسط بین ۸ تا ۹ و دمای حدود ۵۰ تا ۱۰۰ درجه سانتیگراد با خاستگاه جوی و رقيق‌اند. ضمناً بررسی شرایط تشکیل زئولیت [۲۰] نشان داده است که فعالیت سیلیس محلول نسبت به غلظت کاتیون‌ها از اهمیت بیشتری



شکل ۱۱ نمودار تغییرات محدوده پایداری زئولیت‌ها با افزایش دما (الف تا ت) [۱۹].



شکل ۱۲ نمودار تغییرات گستره‌ی پایداری زئولیت‌ها با تغییر فعالیت سیلیس محلول (الف تا ت) [۱۹].

بودن این عناصر طی فرایند دگرسانی که توسط محققین مختلف مورد تردید قرار گرفته است نیز در این بررسی رد می‌شود. رفتار متفاوت Eu نیز به تجزیه پلازیوکلاز به کانی‌های رسی، آزاد شدن این عنصر و ورود آن به فراورده‌های دگرسان مربوط است.

زئولیت‌های موجود در زون دگرسانی کجل در دمای زیر ۱۰۰ درجه و pH حدود ۸ تا ۹ تشکیل شده و لگاریتم فعالیت سیلیس محلول نیز حدود ۴,۱-۴,۱ بوده است.

#### مراجع

- [۱] مقدمی اسلام، "بررسی‌های ژئوشیمیائی دگرسانی زئولیتی در سنگ‌های ولکانیکی منطقه کجل، شمالغرب هشجین، استان اردبیل"، پایاننامه کارشناسی ارشد زمین‌شناسی گرایش ژئوشیمی، دانشگاه تبریز (۱۳۹۰) ۱۲۴ صفحه.
- [۲] خاتمیان اسکوئی، معصومه؛ قنبرپور، رقیه، "سنتر و شناسایی کمپلکس VO(salen) در منافذ زئولیت"، مجله بلورشناسی و کانی‌شناسی ایران، شماره ۲ (۱۳۸۶).
- [۳] خرامش محمد، طوطی فرامرز، برقی محمد علی، بدیعی علیرضا، "تغییر فاز کلینوپیتیولیت طبیعی به فیلیپسیت در حضور آگون‌های قلیابی"، مجله بلورشناسی و کانی‌شناسی ایران، شماره ۱ (۱۳۸۸)، ص ۹۵-۱۰۲.
- [۴] Stocklin J., "Structural correlation of the Alpine ranges between Iran and central Asia",

#### برداشت

از بررسی‌های به عمل آمده می‌توان چنین برداشت کرد:

- ۱- زئولیت به عنوان یکی از فراورده‌های رایج دگرسانی دمای پائین تودهای آتشفسانی در منطقه‌ی مورد بررسی، به صورت ثانویه و در اثر فعالیت گرمابی‌های قلیائی در داخل واحدهای تراکی‌آندزیتی و آذرآواری و به همراه کائولینیت تشکیل شده است. با توجه به نتایج آنالیز شیمیائی و XRD، این کانی دارای ترکیب استیلیبیتی بوده و از نوع کلسیم‌دار محسوب می‌شود. ضمناً بافت‌های رگه - رگچه‌ای، بادامکی و اسفلولیتی، بلورهای درشت و شکل‌دار استیلیبیت و نبود کانی‌های دگرگون تدفینی و همیری نشانگر تشکیل این کانی از خاستگاه گرمابند.
- ۲- پایداری استیلیبیت به شدت تابعی از دما بوده و از ۲۵ درجه به ۱۰۰ درجه سانتیگراد گستره‌ی پایداری این کانی به طور مشخصی کاهش یافته و در دماهای بالاتر به کلی از بین می‌رود. ضمناً فعالیت سیلیس محلول و ترکیب واحد میزان نیز بر پایداری استیلیبیت تأثیر گذارند.

- ۳- بر اساس محاسبات تبادل جرم، از مقدار عناصر K, Na, Ca, Mg و Fe با افزایش شدت دگرسانی کاسته شده و عناصر Al و Si در این روند افزایش نسبی نشان می‌دهند. تغییرات نامنظم عناصر LILE تابعی از جانشینی این عناصر در کانی‌های اولیه و فراورده‌های دگرسانی بوده و اکثر عناصر REE و HFSE با پیشرفت دگرسانی، غنی شده‌اند. فرضیه‌ی نامتحرك

- geochemistry of clay minerals near a hydrothermal site in the Escanaba trough, Gorda Ridge, Northeast Pacific Ocean". In: Zierenberg, R.A., Fouquet, Y., Miller, D.J., Normark, W.R. (eds.), Ocean Drilling Program, Scientific Results 169 (2000), 1–24.*
- [16] Kameni D.C., "Distribution of uranium, thorium and rare earth elements in the Eye-Dashwa Lakes pluton; a study of some analogue elements" *Chem. Geol.* 55 (1986) 61–373
- [17] Nesbitt H. W, Marcovics G., "Weathering of granodioritic crust, long-term storage of elements in weathering profiles, and petrogenesis of siliciclastic sediments". *Geochemica et Cosmochimica Acta* 61 (1997) 1653–1670.
- [18] Rollinson H., "Using geochemical data; evaluation, presentation, interpretation" Longman Scientific and Technical, Harlow UK. (1993) 352 pp.
- [19] Reyes A.G., Giggenbach W. F., Saleras J. M., Salonga N. D., Vergara M. C., "Petrology and geochemistry of Alto Peta, a vapor-cored hydrothermal system, Leyte Province, Philippines" *Geothermics* 22 (1993) 479–519
- [20] Duffy C. J., "Preliminary conceptual model for mineral evolution in Yucca Mountain" Los Alamos National laboratory Report LA-12708-MS, (1993) 46p.
- [21] Dibble W. E., Tiller W. A., "Kinetic modal of zeolite paragenesis in tuffaceous sediments" *Clays & Clay Minerals* 29 (1981) 323–330.
- [22] Chipera S. J., Bish D. R., Carlos B. A., "Equilibrium modeling of the formation of zeolites in fractures at Yucca Mountain, Nevada" In *Natural zeolites*, 93: Occurrence, Properties, Use. D.W. Ming, F.A. Mumpton (eds) Int. Comm. Natural zeolites, New York (1995), 565–577.
- [23] Kristmannsdóttir H., Tómasson J., "Zeolite zones in geothermal areas in Iceland". In Sand, L.B. and Mumpton, F.A. (eds). *Natural Zeolites: Occurrence, Properties, Use*, Pergamon Press, Elmsford, New York (1978) 277–284.
- [24] Meriner R. H., Presser T. S., "Conditions of stilbite and chabazite formation in hot springs of the Idaho batholith, Central Idaho". In Ming, D.W. and Mumpton, F.A. (eds). *Natural Zeolites*, 93, Int. Comm. Natural Zeolites, New York (1995) 585–597.
- Memoir Hors serie de la Societe Geologique de France, No. 8, (1977) P.333-335.
- [5] Alavi M., "Tectonostratigraphic synthesis and structural style of the Alborz Mountains system northern Iran", *Journal of Geodynamic* 21 (1996), 1-33.
- [6] Bazargani-Guilani K., Rabbani M.S., "Amygdaloidal and cavity-zeolites of Kuh-e Aradeh, Central Iran". *Journal of Sciences, Islamic Republic of Iran* 15(2) (2004) 149-157.
- [7] Keith T.E.C., Staples L.W., "Zeolites in Eocene basaltic pillow lavas of the Siletz River Volcanics, central Coast Range, Oregon". *Clays and Clay Minerals*, 33(2) (1985): 135-144.
- [8] Pe-Piper G., "Mode of occurrence, chemical variation and genesis of mordenite and associated zeolites from the Morden area, Nova Scotia, Canada". *The Canadian Mineralogist*, 38 (2000) 1215-1232.
- [9] Winchester J. A., Floyd P. A., "Geochemical discrimination of different magma series and their differentiation products using immobile elements", *Chemical Geology*, 16, (1977). 325-343.
- [10] Maclean W.H., "Mass change calculation in altered rock series". *Mineralium Deposita* 24 (1990), 44-49.
- [11] Karakaya N., "REE and HFS element behaviour in the alteration facies of the Erenler Dağı Volcanics (Konya, Turkey) and kaolinite occurrence" *Journal of Geochemical Exploration* 101 (2009), 185-208
- [12] Braun J.J., Pagel M., Muller J.P., Bilong P., Michard A., Guillet B., "Cerium anomalies in lateritic profiles". *Geochemica et Cosmochimica Acta* 54/3 (1993), 781–795.
- [13] Walter A. V., Nahon D., Flicoteaux R., Girard J. P., Melfi A., "Behaviour of major and trace elements and fractionation of REE under tropical weathering of typical weathering of typical apatite-rich carbonatite from Brazil" *Earth and Planetary Science Letters* 303 (1995) 591-601.
- [14] Mameli P., Mongelli G., Oggiano G., Dinelli E., "Geological, geochemical and mineralogical features of some bauxite deposits from Nurra (western Sardinia, Italy): Insights on conditions of formation and parental affinity". *International Journal of Earth Sciences* 96 (2007) 887-902.
- [15] Lackschewitz K.S., Singer A., Botz R., Garbe-Schönberg D., Stoffers P., "Mineralogy and